

( ) / / / / / )

## چکیده

با توجه به اینکه مدل‌های مشروح ترانسفورماتورها با استفاده از ساختار داخلی ترانسفورماتور حاصل می‌شوند، برای مطالعه پدیده‌های داخلی ترانسفورماتور در شرایط کار مختلف بسیار مناسب هستند. برای اینکه مدل مشروح بتواند رفتار ترانسفورماتور را در یک حوزه فرکانس بخوبی شبیه سازی کند لازم است پارامترهای آن با دقت بسیار خوبی محاسبه شوند. در این مقاله مدل مشروحی بر اساس اندوکتانس‌های خودی و متقابل برای یک سیم پیچ فشارقوی متعلق به یک ترانسفورماتور توزیع  $MVA = 1/2$  ارائه می‌شود. بعد از محاسبه پارامترهای مدل مشروح پیشنهادی توسط فرمولهای ریاضی موجود در مراجع، دیده می‌شود که مدل مشروح بدست آمده بدليل وجود تقریب در فرمولها و نیز ترانسنس‌های مربوط به تولید، تابع تبدیل ترانسفورماتور را کاملاً دقیق شبیه سازی نمی‌کند. در این مقاله برای اولین بار روشی بر مبنای الگوریتم ژنتیک ارائه می‌شود، که با استفاده از آن می‌توان پارامترهای مدل مشروح را برای شبیه سازی دقیقتر تابع تبدیل ترانسفورماتور بدست آورد.

## واژه‌های کلیدی: ترانسفورماتور - الگوریتم ژنتیک - تخمین پارامتر

### مقدمه

اطلاعات دقیقی از ابعاد داخلی ترانسفورماتور در دسترس نمی‌باشد و ثانیاً با توجه به تقریبهای انجام شده در روابط، پارامترهای محاسبه شده با خطای محاسباتی همراه هستند.

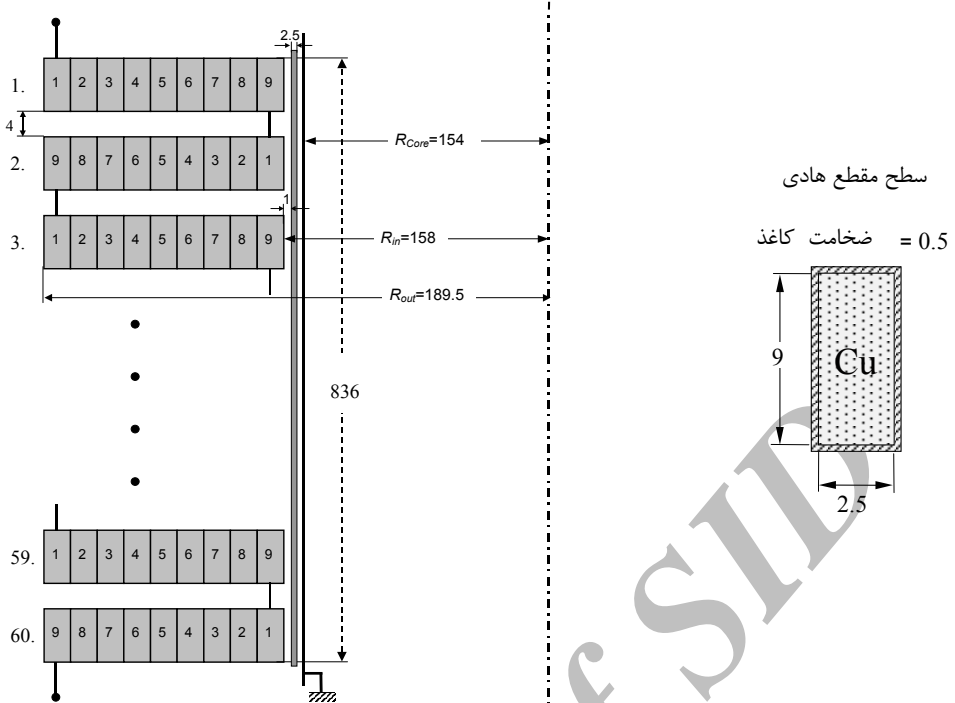
این مقاله روشی مبتنی بر الگوریتم ژنتیک برای شناسائی پارامترهای مدل مشروح ترانسفورماتور ارائه می‌کند. یک نگرش جدید در پیاده سازی الگوریتم ژنتیک با کدگذاری حقیقی و کاربرد آن در شناسائی پارامترهای مدل مشروح ترانسفورماتور ارائه می‌شود. روش ارائه شده با نشان دادن انطباق داده‌های حاصل از آزمایش و نتایج شبیه سازی مورد ارزیابی قرار گرفته است.

### سیم پیچی آزمایش شده و مدل مشروح آن

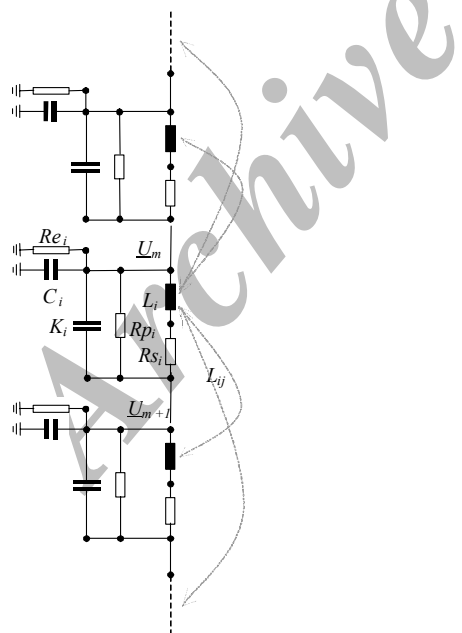
سیم پیچ فشارقوی یک ترانسفورماتور توزیع  $MVA = 1/2$  برای مدلسازی توسط مدل مشروح انتخاب شده است که ابعاد هندسی آن در شکل (۱) دیده می‌شود. این سیم پیچ از ۶۰ بشتاب معمولی ۹ حلقه‌ای تشکیل شده است.

مدلهای مختلفی برای تجزیه و تحلیل و شبیه سازی رفتار یک ترانسفورماتور در شرایط کاری مختلف از جمله شرایط خط، اضافه ولتاژهای سوئیچینگ و ضربه و.... ارائه شده است [۱ و ۲]. مدل مشروح ترانسفورماتور از جمله بهترین مدل‌های ارائه شده می‌باشد [۳ و ۴]. از آنجا که در این مدل، هندسه ترانسفورماتور، ساختمان سیم پیچها و اتصالات و نیز مواد عایقی بکار رفته لحاظ می‌شوند، در مطالعه رفتار ترانسفورماتور در شرایط کار مختلف بسیار مفید است.

مدل مشروح مورد بحث در اینجا مตکی بر اندوکتانس‌های خودی و متقابل است [۶]. برای استفاده از این مدل، تعیین دقیق مقدار عددی پارامترهای مدل یعنی اندوکتانس‌های خودی و نیز ظرفیتها و مقاومتهای آن اهمیت اساسی دارد. برای محاسبه پارامترهای مدل، روش‌های تحلیلی متعددی ارائه شده است [۷ و ۸] که ممکن است بر اطلاعات ساختار داخلی ترانسفورماتور بوده و نیازمند داده‌های دقیقی از ابعاد هندسی، مواد عایقی و.... هستند. این روش‌ها دارای این معایب هستند که اولاً همواره



شکل ۱: ابعاد هندسی سیم پیچ بشقابی انتخاب شده برای انجام آزمایش و مدلسازی (ابعاد بر حسب mm می باشد).



شکل ۲: مدل مشروح سیم پیچ ترانسفورماتور.

پارامترهای محاسبه شده برای سیم پیچ مورد نظر با استفاده از روابط تحلیلی در جدول (۱) ارائه شده اند. با توجه به اینکه اندوکتانس‌های متقابل بین واحدهای با فاصله بیشتر از ۷ واحد، بسیار کوچک بوده و تأثیری بسیار

برای مدلسازی سیم پیچ، از مدل مشروح با ۱۵ گره استفاده می‌شود. این مدل دارای ۱۵ واحد مشابه با هم است که هر واحد ۴ بشقاب از سیم پیچ را در بر می‌گیرد. در شکل (۲) سه واحد از مدار معادل نشان داده شده است.

عناصر مشخص شده در مدل بشرح زیر هستند:

$L_i$ : اندوکتانس خودی واحد  $i$  - آم  
 $L_{ij}$ : اندوکتانس متقابل واحدهای  $i$  و  $j$   
 $K_i$ : ظرفیت سری منتجه واحد  $i$  - آم  
 $C_i$ : ظرفیت بین واحد  $i$  - آم و پتانسیل زمین (هسته یا تانک) یا سیم پیچ مجاور  
 $R_{pi}$ : مقاومت اهمی برای در نظر گرفتن تلفات عایقی واحد  $i$  - آم

$Re_i$ : مقاومت اهمی برای منظور کردن تلفات عایقی بین واحد  $i$  - آم و پتانسیل زمین یا سیم پیچ مجاور  
 $RS_i$ : مقاومت اهمی برای وارد کردن تلفات اهمی در واحد  $i$  - آم

نحوه محاسبه پارامترهای مدل مشروح به کمک روابط ریاضی به طور کامل در مراجع [۹ و ۱۰] آمده است.

$$\begin{aligned}\underline{B}_1 &= \begin{bmatrix} y_{sl} U_{Input} & 0 & \dots & 0 & 0 \end{bmatrix}^T, \\ \underline{B}_2 &= \begin{bmatrix} U_{Input} & 0 & \dots & 0 & 0 \end{bmatrix}^T\end{aligned}\quad (3)$$

از حل معادلات فوق داریم:

$$\begin{aligned}\underline{U} &= (\underline{Y} + A \underline{Z}^{-1} A^T)^{-1} (A \underline{Z}^{-1} \underline{B}_2 + \underline{B}_1) \\ \underline{I} &= \underline{Z}^{-1} (-A^T \underline{U} + \underline{B}_2)\end{aligned}\quad (4)$$

$\underline{U}$  و  $\underline{I}_i$  تبدیل فوریه شکل موج ولتاژ و جریان واحد  $i - A$  هستند.

$$\underline{I}_{out} = \frac{\underline{U}_n}{Z\underline{E}} \quad (5)$$

امپدانسی است که گره  $n - A$  مدار را به زمین وصل می‌کند.

ناجیز در نتایج شبیه سازی داشته اند، مقادیر این اندوکتانسها صفر در نظر گرفته شده اند. بدلیل اینکه مقاومتهای موازی با بدست آمدن ظرفیت مربوطه و ضرب تلفات عایقی حاصل می‌شوند، از مجھولات مدل محاسبه نمی‌شوند و لذا در جدول زیر آورده نشده اند.

جدول ۱: پارامترهای محاسبه شده برای مدل مشروح سیم پیچ مورد آزمایش.

$L_i = 0.6552$ mH	$L_{12} = 0.3890$ mH	$L_{13} = 0.2007$ mH	$L_{14} = 0.1198$ mH
$L_{15} = 0.0762$ mH	$L_{16} = 0.0506$ mH	$L_{17} = 0.0349$ mH	$L_{18} = 0.0250$ mH
$C_i = 0.010045$ nF	$K_i = 0.04284$ nF	$Rs_i = 0.1442$ Kohm	

تحلیل مدل مشروح شکل (۲) با  $n$  واحد سیم پیچ، در حوزه فرکانس بصورت زیر قابل بیان است: اگر شاخه‌های اندوکتیو مدار درنظر گرفته نشوند، ماتریس ادمیتانس گره‌ها  $\underline{Y} = G + j\omega C$  به صورت زیر محاسبه می‌شود:

$\underline{Y}_{ij}$ : مجموع ادمیتانس‌هایی که به گره  $i - A$  وصل شده‌اند.

$\underline{Y}_{ij}$ : منفی مجموع ادمیتانس‌هایی که گره‌های  $i$  و  $j$  را به همدیگر متصل می‌کنند. شاخه‌های اندوکتیو با ماتریس امپدانس وابسته به فرکانس  $\underline{Z} = R + j\omega L$  در نظر گرفته می‌شوند:

$$\underline{Z} = \begin{bmatrix} Rs_1(\omega) + jL_{1,1}\omega & jL_{1,2}\omega & \dots & jL_{1,n-1}\omega & jL_{1,n}\omega \\ jL_{2,1}\omega & Rs_2(\omega) + jL_{2,2}\omega & \dots & jL_{2,n-1}\omega & jL_{2,n}\omega \\ \dots & \dots & \dots & \dots & \dots \\ jL_{n-1,1}\omega & jL_{n-1,2}\omega & \dots & Rs_{n-1}(\omega) + jL_{n-1,n}\omega & jL_{n-1,n}\omega \\ jL_{n,n}\omega & jL_{n,2}\omega & \dots & jL_{n,n-1}\omega & Rs_n(\omega) + jL_n\omega \end{bmatrix} \quad (1)$$

با استفاده از قوانین کیرشهف معادلات زیر حاصل می‌شوند:

$$\begin{aligned}\underline{Y} \underline{U} &= A \underline{I} + \underline{B}_1 \\ \underline{Z} \underline{I} &= -A^T \underline{U} + \underline{B}_2\end{aligned}\quad (2)$$

$\underline{U}$  و  $\underline{I}$  به ترتیب بردار ولتاژ گره‌ها و بردار جریان شاخه‌های مدار هستند و  $A$  ماتریس تلاقي شبکه است.  $\underline{B}_1$  و  $\underline{B}_2$  بردارهای ورودی هستند و با داشتن تبدیل فوریه سیگنال تحریک به عنوان ورودی  $(\omega) Input$  می‌شوند: بصورت زیر بیان می‌شوند:

الگوریتم ژنتیک روشی است که می‌تواند برای حل دستگاه معادلات غیر خطی و مسائل بهینه سازی پیچیده بکار رود. این الگوریتم با استفاده از اعداد تصادفی و بر مبنای انتخاب طبیعی عمل می‌کند و نیازمند داشتن تخمین اولیه خوبی از جواب مسئله نمی‌باشد. یعنی بدست آوردن پاسخ یک مسئله پیچیده می‌تواند از تخمینهای اولیه ضعیف شروع و در روند تکاملی بقای اصلاح، به دقت لازم برسد [۱۱].

الگوریتم ژنتیک در فرم استاندارد آن بر روی رشته‌های باینری، موسوم به کروموزوم، که پاسخهای محتمل مسئله می‌باشند عمل می‌کند. الگوریتم ژنتیک ساده‌ای که در بسیاری از مسائل عملی از جمله شناسائی پارامترهای مدل  $dq$  موتور القائی از اطلاعات پلاک موتور [۱۲]، نتایج خوبی بدست داده است، از سه عملگر تولید مثلث، تزویج و جهش استفاده می‌کند. این عملگرهای که از فرآیند تکامل طبیعی اقتباس شده اند، جمعیت کروموزومها را بسوی تکامل، که معنی بزرگتر شدن تابع معیار است پیش می‌برند.

در بسیاری از مسائل از جمله شناسائی پارامترها، پاسخ مسئله مجموعه‌ای از اعداد حقیقی است. برای

یعنی  $I^e$  با زمین شدن این سرسيم پيچ توسيط پيچك روگوفسکي اندازه گيري می شود.  $N$  نمونه از تبديل فوريه جريان خروجي  $(\bar{Y}_{ei})_{i=1:n}$  می توانند از طريق آزمایش بدست آيند. پaramترهاي مدل مشروح ترانسفورماتور را می توان با بردار  $\bar{P}$  نشان داد.

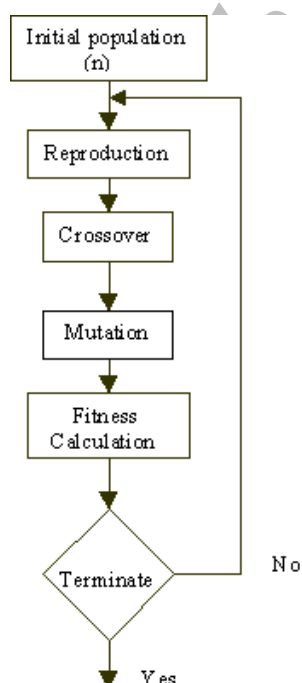
$$\bar{P} = (L_1, L_{12}, L_{13}, L_{14}, L_{15}, L_{16}, L_{17}, L_{18}, C_i, K_i, R_{Si}) \quad (6)$$

پاسخ مدل شبие سازی شده به ورودی ولتاژ ضربه را  $(I^s_o) = (\bar{Y}_{Si})$  می ناميم. هدف از شناسائي پaramترها بدست آوردن  $\bar{P}$  به گونه اي است که در هر فرکانسي  $\bar{Y}_{Si} = \bar{Y}_{ei}$  شود.

با توجه به وجود نويز، خطاهای عددی در شبие سازی مدل و نيز خطاهای دستگاههای اندازه گيري، در عمل هيچگاه اين برابري حاصل نخواهد شد. لذا بهترین تخمين برای پaramترها، تخمينی است که مجموع مربعات خطأ را برای  $n$  زوج  $\bar{Y}_{Si}, \bar{Y}_{ei}$  حداقل نماید و بعبارت ديگر تابع معيار (7) را ماکزيم کند.

$$Fit = \frac{1}{\sum_{i=1}^n (I_{oi}^e - I_{oi}^s)^2} \quad (7)$$

بدين ترتيب مسئله شناسائي پaramترها به يك مسئله بهينه سازی تبديل شده و با الگوريتم ژنتيك قابل حل است.

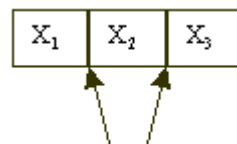


شکل ۴ : روند کار الگوريتم ژنتيك.

هماهنگ کردن اين مسائل با فرم استاندارد الگوريتم ژنتيك، روش متداول، استفاده از رمز باينري برای اعداد حقيقي و چيدن آنها در کنار يكديگر و تشکيل کروموزوم است. در اينصورت نقطه اثر عملگرها، مطابق با فرم استاندارد، می تواند بيتهای ميانی پaramترهاي حقيقي نيز انتخاب شود.

در حل مسئله مورد بحث اين مقاله، که با پaramترهاي حقيقي سروکار دارد، نگرش جديدي برای تشکيل کروموزوم و نحوه کار عملگرها بكار رفته است که باعث سهولت پياده سازی و افزایش سرعت همگرائي شده است. در اين نگرش هرکروموزوم بجای مجموعه اي از بيتهای مجموعه اي از اعداد حقيقي در نظر گرفته می شود [12]. نقطه تزویج تنها می تواند مرز بين اعداد حقيقي انتخاب شود و عملگر جهش، پس از انتخاب يکي از اعداد حقيقي در کروموزوم، مقدار آنرا بطور تصادفي تغيير می دهد. در شکل (3) نحوه کار عملگرهاي تزویج و جهش برای فرم حقيقي نشان داده شده است.

$$\bar{X} = (x_1, x_2, x_3)$$



Possible Crossover Position

$$x_i \xrightarrow{\text{Mutation}} x_i = x_i + \text{random}\left(-\frac{x_{imax}}{2}, \frac{x_{imax}}{2}\right)$$

$x_i$ ، ماکزيم مقدار ممکن برای پaramتر  $x_{imax}$  می باشد.

شکل ۳: عملگرهاي تزویج و جهش در فرم حقيقي.

عملگر تولید مثل، مشابه فرم استاندارد، تکثير هرکروموزوم را متناسب با تابع معيار آن انجام می دهد. بدین ترتيب کروموزومهایی که دارای تابع معيار بهتری هستند در نسل بعدی بيشتر تکثير می شوند. روند کار الگوريتم با عملگرهاي سه گانه در شکل (4) نشان داده شده است.

### ب) شناسائي پaramترهاي مدل مشروع ترانسفورماتور با الگوريتم ژنتيك

ترانسفورماتور به ورودی ولتاژ ضربه درنظر می گيريم. دراندازه گيري جريان خروجي، به پايانه ورودي سيم پيچ ولتاژ ضربه اعمال گردیده و جريان انتهای ديگر سيم پيچ

- جمعیت شده و الگوریتم کارآبی خود را که تکیه بر جمعیت دارد، از دست می‌دهد.
- افزایش جمعت به آن اندازه که بار محاسباتی را افزایش می‌دهد، تاثیری در افزایش سرعت همگرائی ندارد و در مجموع از نظر زمانی الگوریتم را کُند می‌کند.
  - با تکیه بر این نتایج، تغییرات و تمهدات زیر بعمل آمده و بکار بسته شد:
    - جمعیت ۵ نفری انتخاب شد.
    - احتمال تزویج  $P_c = 0.2$  انتخاب شد.
    - جهش بصورت چند گانه و دسته بندی شده که آنرا جهش خانوادگی می‌نامیم، با احتمال  $P_m = 0.5$  اعمال شد.
    - تزریق بهترین فرد هر نسل به جمعیت نسل بعدی، با جایگزینی آن فرد به جای بدترین فرد، انجام شد.
    - پس از اعمال این تغییرات، عملکرد الگوریتم بطور مکرر و با استفاده از داده‌های حاصل از آزمایش‌های مختلف، مورد ارزیابی قرار گرفت. در اجرای برنامه و با مقادیر اولیه تصادفی برای مقادیر پارامترها، در برخی حالتها همگرائی حاصل گردیده و در برخی دیگر از حالتها همگرائی خوبی حاصل نگردید. در حالتی دیگر به جای مقادیر اولیه تصادفی برای پارامترها، از مقادیر پارامترهای محاسبه شده جدول (۱) به عنوان مقادیر اولیه پارامترها استفاده گردید. در این حالت در کلیه موارد همگرائی حاصل شد و در بدترین حالت با حدود ۲۰۰۰ بار تکرار و زمان اجرای حدود ۳ ساعت، پارامترها تنظیم گردیدند. نتایج حاصل از تنظیم پارامترها توسط الگوریتم ژنتیک در جدول (۲) ارائه شده است. از آنجاییکه دو مورد آخر از تمهدات انجام شده، بیشترین تاثیر را در افزایش سرعت همگرائی داشته اند، توضیح مختصراً در مورد هر یک ارائه می‌شود.

### جهش خانوادگی

ارزیابی‌های اولیه الگوریتم نشان داد که افزایش احتمال جهش در یک پارامتر، سرعت همگرائی را افزایش می‌دهد که حد آن با  $P_m = 1$  حاصل می‌شود. در ادامه این روند، اثر جهش چند گانه با  $P_m$  بالا و برای کلیه پارامترها بررسی شد. نتیجه بدست آمده، بهبود چشمگیری را نشان نمی‌داد که می‌تواند ناشی از تصادفی شدن بیش از حد

### نکات اجرائی در پیاده سازی الگوریتم ژنتیک

الگوریتم ژنتیک برای حل مسئله شناسائی پارامترهای مدل مشروح ترانسفورماتور بسادگی قابل استفاده نمی‌باشد. در این بخش نکات اجرائی و تمهداتی که پیاده سازی را ممکن نموده اند مورد بحث قرار می‌گیرند.

اولاً، زمان شبیه سازی نقش تعیین کننده ای را در بکارگیری الگوریتم ژنتیک بازی می‌کند. برای رسیدن به همگرائی، چند هزار بار تکرار الگوریتم و چند ده هزار بار شبیه سازی متعارف می‌باشد. شبیه سازی پاسخ فرکانسی ترانسفورماتور براساس مدل مشروح نوعاً زمان بر می‌باشد. در مسئله مورد بحث با تمهدات انجام شده و تهیه نرم افزار شبیه سازی با Visual C، سرعت شبیه سازی برای بدست آوردن پاسخ فرکانسی به حد یک ثانیه با پردازنده AMD\_Athlon و فرکانس 2600 MHz رسیده است.

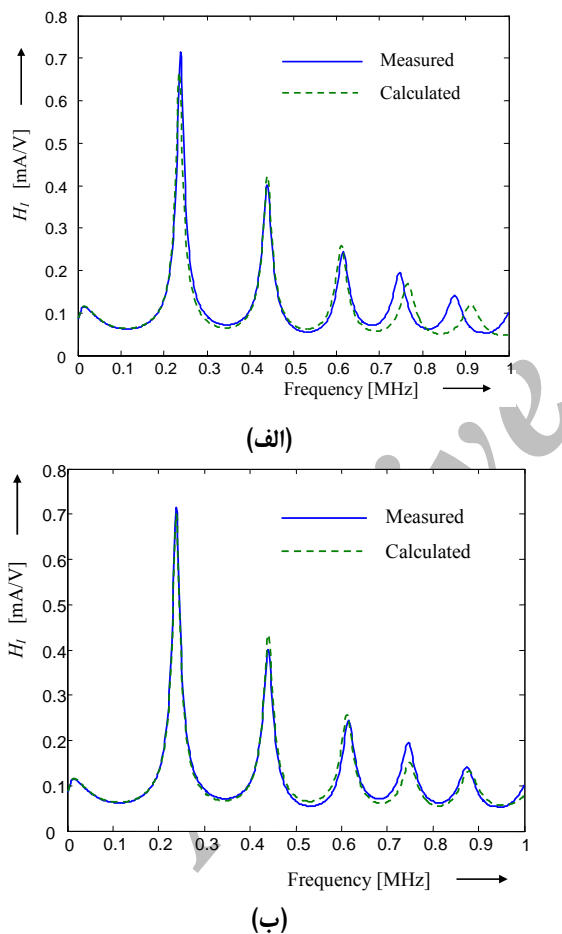
ثانیاً، استفاده از شرائط متعارف برای اجرای الگوریتم و نیز نحوه کار عملگرها بصورت متعارف امکانپذیر نبوده و همگرائی حاصل نمی‌شود. در ادامه به روند استنتاج تغییرات و تمهدات لازم که منجر به همگرائی تضمین شده در مدت قابل قبول شده است پرداخته می‌شود.

الگوریتم ژنتیک در فرم استاندارد، نوعاً با جمعیت ۵۰ الی ۱۰۰ نفری و با احتمال تزویج  $P_c$  بزرگ و احتمال جهش  $(P_m)$  بسیار کوچک اجرا می‌شود. چنین جمعیتی با ۲۰۰۰ بار تکرار الگوریتم و با زمان یک ثانیه برای هر بار شبیه سازی، نیازمند متجاوز از ۳۰ ساعت زمان اجرا می‌باشد که عملاً غیر قابل قبول است. لذا الگوریتم ابتدا با جمعیت ۱۰ نفری و احتمال تزویج  $P_c = 0.75$  و احتمال جهش  $P_m = 0.01$  و سپس تحت شرائط مختلف در محدوده های، تعداد جمعیت بین ۱۰ الی ۲۰،  $0.85 < P_c < 0.9$  و  $0.01 < P_m < 0.1$ ، مورد آزمایش قرار گرفت که در هیچیک از موارد همگرائی قابل قبول حاصل نگردید.

بمنظور رسیدن به همگرائی تضمین شده و زمان اجرای قابل قبول، روند عملکرد الگوریتم در طی اجرای مراحل مختلف الگوریتم و تحت شرائط مختلف، مورد نظارت و ارزیابی قرار گرفته و از مشاهدات، استنتاجات ذیل عمل آمد:

- افزایش احتمال جهش، به افزایش سرعت همگرائی الگوریتم کمک می‌نماید.
- افزایش احتمال تزویج منجر به همشکل شدن

ثبت کننده دیجیتالی HiAS 743 با نرخ نمونه برداری ۱۲۰ MHz، تفکیک پذیری فرکانسی ۱۰ بیت و عمق نمونه برداری ۱۲۸۰۰۰ نمونه انجام شده است. به پایانه ورودی سیم پیچ، ولتاژ ضربه با زمان پیشانی ۲۰۰ نانو ثانیه و نیم زمان پشت ۱۰۰ میکرو ثانیه اعمال شده است. عنوان کمیات خروجی جریان زمین سیم پیچ اندازه گیری شده است. برای اندازه گیری جریان از یک پیچک روغوفسکی با نسبت تبدیل یک ولت بر آمپر و فرکانس قطع پایین ۱۲۵ و فرکانس قطع بالای ۲۰ MHz استفاده شده است.تابع تبدیل پس از فیلتر کردن، نمونه برداری و تبدیل فوریه سریع (FFT) گرفتن بدست آمده است.



شکل ۵: مقایسه پاسخهای فرکانسی اندازه گیری شده و پاسخهای فرکانسی حاصل از شبیه سازی

برای ارزیابی روش پیشنهادی، پاسخ فرکانسی اندازه گیری شده، با پاسخهای فرکانسی حاصل از شبیه سازی ترانسفورماتور با پارامترهای محاسبه شده از روابط تحلیلی

فرآیند باشد. نهایتاً جهش خانوادگی بعنوان روشی معتدل انتخاب و اعمال گردید، که سرعت همگرائی را بطور قابل ملاحظه ای افزایش داد. در این روش پارامترهای هر کروموزوم به چهار خانواده، با مفاهیم فیزیکی نزدیک به هم تقسیم شدند، که عبارتند از:

- اندوکتانس خودی  $L_i$
- اندوکتانس های متقابلاً شامل  $L_{12}, L_{13}, L_{14}, L_{15}, L_{16}, L_{17}, L_{18}$
- ظرفیتها شامل  $C_i, K_i$
- مقاومت  $R_{S_i}$

برای اجرای عملگر جهش خانوادگی، هر خانواده با احتمال  $P_m$  برای اجرای عملگر جهش انتخاب و سپس به یکی از اعضاء خانواده که بصورت تصادفی انتخاب می شود، تغییر تصادفی اعمال گردید.

**تزریق بهترین فرد نسل قدیم**  
با افزایش احتمال اعمال عملگر جهش به طریق ذکر شده، ملاحظه شد که در برخی حالتها، بدليل تغییرات تصادفی زیاد، جمعیت جدید ویژگیهای نسل قبل را از دست می دهد. بمنظور جلوگیری از این اتفاق در هر مرحله از تکرار الگوریتم و پس از اجرای عملگرهای تزویج و جهش، بهترین فرد نسل قدیم جایگزین بدترین فرد نسل جدید می شود. بدین ترتیب انحراف نسل اتفاق نمی افتد و حفظ خصوصیات در نسل بعدی تضمین می شود.

جدول ۲: پارامترهای تخمین زده توسط الگوریتم ژنتیک.

$L_i = 0.5062$ mH	$L_{12} = 0.4174$ mH	$L_{13} = 0.1503$ mH	$L_{14} = 0.0955$ mH
$L_{15} = 0.0757$ mH	$L_{16} = 0.0398$ mH	$L_{17} = 0.0257$ mH	$L_{18} = 0.0165$ mH
$C_i = 0.0104$ nF	$K_i = 0.0519$ nF	$R_{S_i} = 0.1312$ Kohm	

## بررسی اعتبار تخمین پارامترها به روش الگوریتم ژنتیک

تمام اندازه گیریها برای تعیین تابع تبدیل جریان سیم زمین نسبت به ولتاژ اعمالی به پایانه ورودی بوسیله

ترانسفورماتور بستگی بسیار زیادی به دقت پارامترهای مدل مشروح دارد. با توجه به تقریب‌های اجتناب ناپذیرکه در فرمولهای محاسبه پارامترهای مدل مشروح وجود دارد و همچنین تُلرانس‌های تولید ترانسفورماتور و نیز محدودیتهای ذاتی مدل مشروح ناشی از فشرده بودن عناصر مدار آن، عملانمی‌توان پارامترهای مدل مشروح را در اغلب اوقات با دقت بالا محاسبه کرد. در این مقاله نشان داده شد که می‌توان با استفاده از الگوریتم ژنتیک و بکارگیری مقادیر محاسبه شده پارامترها با روابط تحلیلی به عنوان مقادیر اولیه، پارامترهای مدل مشروح را با دقت خیلی بالایی تخمین زد. مقایسهٔ بین پاسخ فرکانسی اندازه گیری شده ترانسفورماتور و نتایج حاصل از شبیه سازی مدل ترانسفورماتور با پارامترهای محاسبه شده و پارامترهای تخمین زده شده توسط الگوریتم ژنتیک این مطلب را بخوبی نشان می‌دهد.

و پارامترهای تخمینی توسط الگوریتم ژنتیک مقایسه می‌گرددند. شکل (۵) چنین مقایسه‌ای را انجام میدهد. با توجه به شکل (۵) می‌توان دریافت که پاسخ فرکانسی حاصل از شبیه سازی ترانسفورماتور با پارامترهای محاسبه شده، در مقایسه با پاسخ فرکانسی حاصل از شبیه سازی ترانسفورماتور با پارامترهای تخمینی با روش الگوریتم ژنتیک، تطابق کمتری با پاسخ فرکانسی اندازه گیری شده دارد و این مسئله در فرکانس‌های بالا تر بیشتر به چشم می‌خورد. بدین ترتیب می‌توان به دقت پارامترهای تخمین زده شده توسط الگوریتم ژنتیک در مقایسه با پارامترهای محاسبه شده به کمک روابط ریاضی پی برد.

## نتیجه گیری

کارآیی مدل مشروح در مطالعات پدیده‌های داخلی

## مراجع

- 1 - Miri, A.M., Riegel, N.A. and Kühner, A. (1999). "Finite element models for the computation of the transient potential and field distribution in the winding system of high voltage power transformers." *11-th International Symposium on High Voltage Engineering*, London, England, 23-27 August, Vol. 2, No. 467, PP. 39-42.
- 2 - Morched, A., Martí, L. and Ottewangers, J. (1993). "A high frequency transformer model for the EMTP." *IEEE Transactions on Power Delivery*, July, Vol. 8, No. 3, PP. 1615-1626.
- 3 - Vaessen, P.T.M. (1988). "Transformer model for high frequencies." *IEEE Transactions on Power Delivery*, October, Vol. 3, No. 4, PP. 1761-1768
- 4 - Arturi, C.M. (1991). "Transient simulation and analysis of a three-phase five-limb step-up transformer following an out-of-phase synchronization." *IEEE Transactions on Power Delivery*, January, Vol. 6, No. 1, PP. 196-207.
- 5 - Brandwajn, V., Dommel, H. W. and Dommel, I.I. (1982). "Matrix representation of three-phase N-winding transformers for steady-state and transient studies." *IEEE Transactions on Power Apparatus and Systems*, June, Vol. PAS-101, No. 6, PP. 1369-1378.
- 6 - De León, F. and Semlyen, A. (1994). "Complete transformer model for electromagnetic transients." *IEEE Transactions on Power Delivery*, January, Vol. 9, No. 1, PP. 231-239.
- 7 - Buckow, E. (1986). *Berechnung des Verhaltens von Leistungstransformatoren bei Resonanzanregung und Möglichkeiten des Abbaus innerer Spannungsüberhöhungen*, Dissertation, Technische Hochschule Darmstadt.
- 8 - Nothaft, M. (1994). *Untersuchung der Resonanzvorgänge in Wicklungen von Hochspannungsleistungstransformatoren mittels eines detaillierten Modells*, Dissertation, Technische Hochschule Karlsruhe.

- 
- 9 - Rahimpour, E., Christian, J., Feser, K. and Mohseni, H. (2003). "Transfer function method to diagnose axial displacement and radial deformation of transformer windings." *IEEE Transactions On Power Delivery*, No. 2, Vol. 18, PP.493-505.
- 10 - Rahimpour, E. (2001). *Hochfrequente Modellierung von Transformatoren zur Berechnung der Übertragungsfunktion*, Dissertation, Universität Stuttgart.
- 11 - Man, K. F., Tang, K. S. and Kwong, S. (1996). "Genetic algorithms: concepts and applications." *IEEE Transactions On Industrial Electronics*, No. 5, Vol. 43, PP.519-534.
- 12 - Raie, A. and Rashtchi, V. (2002). "Using a genetic algorithm for detection and magnitude determination of turn faults in an induction motor." *Electrical Engineering*, PP.275-279.

واژه های انگلیسی به ترتیب استفاده در متن

- 1 - Reproduction
- 2 - Crossover/mating
- 3 - Mutation